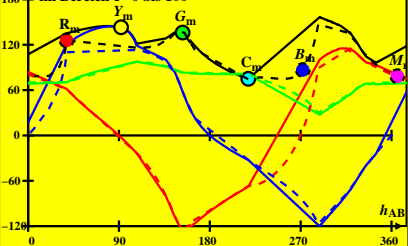


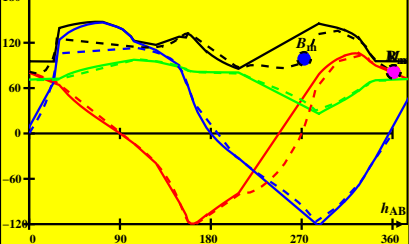
CIE-Daten für antichromatische Optimalfarben von maximalem Buntwert für D65, $Y_w=100$, $Y_m=520\ 770$, $B_m=380\ 520$

↑ CIELAB-Helligkeit L^* und radiale Buntheit a^* , b^* , C^*_{ab} im Bereich $Y=0$ bis 100



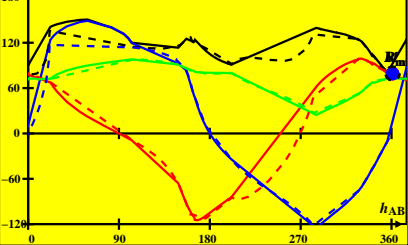
CIE-Daten für antichromatische Optimalfarben von maximalem Buntwert für D50, $Y_w=100$, $Y_m=520\ 770$, $B_m=380\ 520$

↑ CIELAB-Helligkeit L^* und radiale Buntheit a^* , b^* , C^*_{ab} im Bereich $Y=0$ bis 100



CIE-Daten für antichromatische Optimalfarben von maximalem Buntwert für P40, $Y_n=100$, $Y_m=520\ 770$, $B_m=380\ 520$

↑ CIELAB-Helligkeit L^* und radiale Buntheit a^* , b^* , C^*_{ab} im Bereich $Y=0$ bis 100

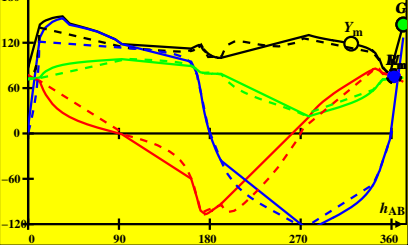


0-000030-L0

SG840-7A_1

CIE-Daten für antichromatische Optimalfarben von maximalem Buntwert für A00, $Y_w=100$, $Y_m=520\ 770$, $B_m=380\ 520$

↑ CIELAB-Helligkeit L^* und radiale Buntheit a^* , b^* , C^*_{ab} im Bereich $Y=0$ bis 100

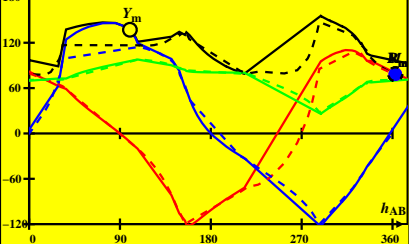


0-000030-L0

SG840-7A_1

CIE-Daten für antichromatische Optimalfarben von maximalem Buntwert für E00, $Y_w=100$, $Y_m=520\ 770$, $B_m=380\ 520$

↑ CIELAB-Helligkeit L^* und radiale Buntheit a^* , b^* , C^*_{ab} im Bereich $Y=0$ bis 100

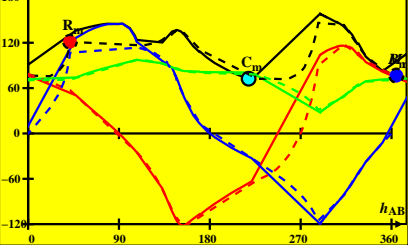


0-000030-L0

SG840-7A_1

CIE-Daten für antichromatische Optimalfarben von maximalem Buntwert für C00, $Y_w=100$, $Y_m=520\ 770$, $B_m=380\ 520$

↑ CIELAB-Helligkeit L^* und radiale Buntheit a^* , b^* , C^*_{ab} im Bereich $Y=0$ bis 100

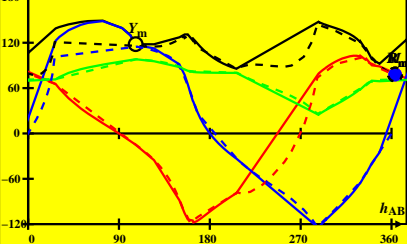


0-000030-L0

SG840-7A_1

CIE-Daten für antichromatische Optimalfarben von maximalem Buntwert für P00, $Y_n=100$, $Y_m=520\ 770$, $B_m=380\ 520$

↑ CIELAB-Helligkeit L^* und radiale Buntheit a^* , b^* , C^*_{ab} im Bereich $Y=0$ bis 100



CIE-Daten für antichromatische Optimalfarben von maximalem Buntwert für Q00, $Y_w=100$, $Y_m=520\ 770$, $B_m=380\ 520$

↑ CIELAB-Helligkeit L^* und radiale Buntheit a^* , b^* , C^*_{ab} im Bereich $Y=0$ bis 100

